

# N과 X를 포함하는 DNA 서열을 위한 효율적인 지역정렬 알고리즘

(An Efficient Local Alignment Algorithm for  
DNA Sequences including N and X)

김진욱<sup>\*</sup>

(Jin Wook Kim)

**요약** 지역정렬(local alignment) 알고리즘은 주어진 두 서열에서 서로 유사한 부분 문자열을 찾아내는 알고리즘이다. DNA 서열은 A, C, G, T 외에 N과 X도 가질 수 있는데, N과 X는 DNA로부터 염기 배열 정보를 뽑아낼 때 실험적인 이유로 혹은 다른 이유로 일부 배열 정보를 잃어버린 경우에 사용된다. 본 논문에서는 A, C, G, T 이외에 N과 X를 모두 갖는 DNA 서열의 affine gap penalty metric에 대한 지역정렬을 찾는 효율적인 알고리즘을 제시한다. 이는 N만 처리할 수 있는 Kim-Park 알고리즘을 N과 X를 모두 처리할 수 있도록 성공적으로 확장한 결과이며, 더불어 새로운 문자가 추가되더라도 바로 적용이 가능한 일반화된 결과이다.

**키워드** : DNA 서열, 지역정렬, affine gap penalty

**Abstract** A local alignment algorithm finds a substring pair of given two strings where two substrings of the pair are similar to each other. A DNA sequence can consist of not only A, C, G, and T but also N and X where N and X are used when the original bases lose their information for various reasons. In this paper, we present an efficient local alignment algorithm for two DNA sequences including N and X using the affine gap penalty metric. Our algorithm is an extended version of the Kim-Park algorithm and can be extended in case of including other characters which have similar properties to N and X.

**Key words** : DNA sequences, local alignment, affine gap penalty

## 1. 서론

지역정렬(local alignment) 알고리즘은 주어진 두 서열에서 서로 유사한 부분 문자열을 찾아내는 알고리즘이다[1]. 지역정렬 알고리즘은 DNA 시퀀싱 프로그램에서 DNA 서열 조각들 간의 유사성을 확인하는 데 사용되며, 또한 서로 다른 종 간의 DNA 서열을 비교하는데 사용된다.

DNA 서열은 실제 DNA의 염기 배열을 사람 혹은 컴퓨터가 쉽게 이해할 수 있도록 A, C, G, T의 네 가지 문자를 사용하여 문자열로 표현한 것이다. 그런데, DNA로부터 염기 배열 정보를 뽑아낼 때 실험적인 이유로 혹은 다른 이유로 일부 배열 정보를 잃어버릴 수가 있다[2-6]. 이렇게 배열 정보를 알 수 없는 부분을 표현하기 위해 A, C, G, T 외에 N과 X가 사용된다.

N과 X가 동시에 사용되는 경우 이 둘은 서로 다른 의미를 가지게 된다[2]. DNA 시퀀싱 프로그램인 PHRAP에서 N은 실험적으로 어떤 염기인지 확인할 수 없는 경우를 표현하고, X는 염기 정보가 필요없는 경우를 표현한다. 따라서 지역정렬을 구하는 데 사용되는 유사도 점수로 N은 일치도 불일치도 아닌 그 사이 값을, X는 불일치보다 더 작은 값을 사용한다(그림 1 참고).

지역정렬을 구하는 이전 연구 결과들은 다음과 같다. 주어진 두 서열의 길이가  $n$ 과  $m$ 일 때, Smith-Waterman 알고리즘[7]은 affine gap penalty metric에

\* 정회원 : 인하대학교 컴퓨터정보공학부 교수  
gnugi@inha.ac.kr

논문접수 : 2009년 11월 30일  
심사완료 : 2010년 1월 11일

Copyright©2010 한국정보과학회 : 개인 목적이나 교육 목적인 경우, 이 저작물의 전체 또는 일부에 대한 복사본 혹은 디지털 사본의 제작을 허가합니다. 이 때, 사본은 상업적 수단으로 사용할 수 없으며 첫 페이지에 본 문구와 출처를 반드시 명시해야 합니다. 이 외의 목적으로 복제, 배포, 출판, 전송 등 모든 유형의 사용행위를 하는 경우에 대하여는 사전에 허가를 얻고 비용을 지불해야 합니다.

정보과학회논문지 : 컴퓨팅의 실제 및 테크 제16권 제3호(2010.3)

	A	C	G	T	N	X
A	1	-2	-2	-2	0	-3
C	-2	1	-2	-2	0	-3
G	-2	-2	1	-2	0	-3
T	-2	-2	-2	1	0	-3
N	0	0	0	0	0	0
X	-3	-3	-3	-3	0	-3

그림 1 DNA 서열에 대한 점수 행렬의 한 예. 여기에서  $\delta = 2$ ,  $\tau = -3$ ,  $\sigma = 0$ 인 경우임

대한 지역정렬을  $O(n^2m)$  시간에 구할 수 있고, Gotoh 알고리즘[8]은 이를  $O(nm)$  시간으로 개선하였다. 주어진 두 서열에서 N의 개수가  $T'$ 과  $S'$ 이고 연속된 N들의 개수가  $v'$ 와  $w'$ 일 때, Kim-Park 알고리즘[9]은 Gotoh의 알고리즘을  $O((n-T')(m-S') + v'm + w'n)$  시간으로 개선하였다. 하지만, Kim-Park 알고리즘에서는 N과 X를 모두 N으로 간주하고 문제를 풀고 있으며, N과 X를 구분하는 경우에는 바로 적용할 수가 없다.

이에 본 논문에서는 A, C, G, T 이외에 N과 X를 모두 갖는 DNA 서열의 affine gap penalty metric에 대한 지역정렬을 찾는  $O((n-T)(m-S) + vm + un)$  시간 알고리즘을 제시한다. 여기서  $T$ 와  $S$ 는 주어진 두 서열에 있는 N과 X의 전체 개수이고  $v$ 와  $w$ 는 두 서열에 있는 연속된 N들과 연속된 X들의 개수의 합이다. 이는 이전 연구 결과[9]를 N과 X를 모두 처리할 수 있도록 성공적으로 확장한 결과이며, 더불어 새로운 문자가 추가되더라도 바로 적용이 가능한 일반화된 결과이다.

본 논문의 구성은 다음과 같다. 우선 2장에서는 기본적인 용어 및 관련 연구를 살펴보고, 3장에서 본 논문에서 제시하는 알고리즘을 설명한다. 4장에서 복잡도를 분석한 뒤 5장에서 결론을 맺는다.

## 2. 관련 연구

먼저 몇 가지 용어들을 정의한다. 문자열 혹은 서열은 알파벳  $\Sigma$ 에 속하는 문자들이 0개 이상 연결된 것을 말한다. 공백은  $\Delta$ 로 표현하고  $\Sigma$ 에 속하지 않지만 편의상 문자로 간주한다. 서열  $A$ 의 길이는  $|A|$ 로 표기한다.  $a_i$ 는 서열  $A$ 의  $i$ 번째 문자를 표시하며,  $A[i..j]$ 는  $A$ 의 부분 문자열  $a_ia_{i+1}...a_j$ 를 의미한다.  $\alpha < A$ 는  $\alpha$ 가  $A$ 의 부분 문자열임을 표시한다. 두 개의 서열  $A = a_1a_2...a_n$ 과  $B = b_1b_2...b_m$ 이 주어질 때,  $A$ 와  $B$ 의 정렬(alignment)은  $A$ 와  $B$ 에 0개 이상의 공백을 추가한  $A^* = a_1^*a_2^*...a_l^*$ 과  $B^* = b_1^*b_2^*...b_l^*$ 가 되며  $0 \leq i \leq l$ 인  $i$ 에 대해  $a_i^*$ 와  $b_i^*$ 는 서로 대응된다. 이때 다음과 같은 세 가지 대응관계가 존재한다.

- 일치:  $a_i^* = b_i^* \neq \Delta$ ,
- 불일치:  $a_i^* \neq b_i^*$ 이며  $a_i^*, b_i^* \neq \Delta$ ,
- 삽입 혹은 삭제:  $a_i^*$ 와  $b_i^*$  중 하나만  $\Delta$ .

참고로,  $a_i^* = b_i^* = \Delta$ 인 경우는 없다.

### 2.1 지역정렬(Local alignment)

두 개의 서열  $A$ 와  $B$ 가 주어질 때,  $A$ 와  $B$ 의 지역정렬은  $\alpha < A$ 이고  $\beta < B$ 인  $\alpha, \beta$ 의 정렬로 정의되고,  $A$ 와  $B$ 의 최적의 지역정렬은  $A$ 와  $B$ 의 지역정렬들 중 가장 높은 유사도를 갖는 지역정렬로 정의된다. 앞으로  $SL(A, B)$ 은  $A$ 와  $B$ 의 최적의 지역정렬의 유사도를 나타낸다.

최적의 지역정렬을 구하는 대표적인 알고리즘으로 Smith-Waterman 알고리즘[7]과 Gotoh 알고리즘[8]이 있다(합쳐서 SWG 알고리즘으로 표현하겠다).  $|A|=n$ ,  $|B|=m$ 인 두 서열  $A, B$ 가 주어지면, SWG 알고리즘은 크기  $(n+1)(m+1)$ 인 동적 프로그래밍 테이블  $H$  table을 이용하여  $SL(A, B)$ 를 계산한다.  $0 \leq i \leq n$ ,  $0 \leq j \leq m$ 인  $i, j$ 에 대해  $H_{ij}$ 는 다음의 점화 관계를 통해 계산된다.

$$H_{i,0} = H_{0,j} = 0 \quad (0 \leq i \leq n, 0 \leq j \leq m)$$

$$H_{ij} = \max \left\{ \begin{array}{l} H_{i-1,j-1} + s(a_i, b_j), \\ C_{ij}, R_{ij}, 0 \end{array} \right\} \quad (1 \leq i \leq n, 1 \leq j \leq m)$$

이때,  $s(a_i, b_j)$ ,  $C_{ij}$ ,  $R_{ij}$ 는 다음과 같이 정의된다.

- $s(a_i, b_j)$ 는  $a_i$ 와  $b_j$ 의 유사도 점수를 나타낸다.

$$s(a_i, b_j) = \begin{cases} 1 & a_i = b_j \text{인 경우} \\ -\delta & a_i \neq b_j \text{인 경우} \end{cases}$$

단,  $\delta$ 는 0 이상인 상수이다.

- $C_{ij}$ 는  $a_i$ 의 대응관계가 삽입인  $A[1..i]$ 와  $B[1..j]$ 의 지역정렬 중 가장 유사도가 높은 것을 나타낸다.

$$C_{0,j} = -\infty \quad (1 \leq j \leq m)$$

$$C_{ij} = \max \left\{ \begin{array}{l} H_{i-1,j} - \gamma - \mu, \\ C_{i-1,j} - \mu \end{array} \right\} \quad (1 \leq i \leq n, 1 \leq j \leq m)$$

단,  $\gamma$ 와  $\mu$ 는 0 이상인 상수이다.

- $R_{ij}$ 는  $b_j$ 의 대응관계가 삭제인  $A[1..i]$ 와  $B[1..j]$ 의 지역정렬 중 가장 유사도가 높은 것을 나타낸다.

$$R_{i,0} = -\infty \quad (1 \leq i \leq n)$$

$$R_{ij} = \max \left\{ \begin{array}{l} H_{i,j-1} - \gamma - \mu, \\ R_{i,j-1} - \mu \end{array} \right\} \quad (1 \leq i \leq n, 1 \leq j \leq m)$$

결국 모든  $H_{ij}$  중 가장 점수가 높은 것이  $SL(A, B)$ 가 되고 이는  $O(mn)$  시간에 계산이 된다.

### 2.2 Affine gap penalty metric(1)

삽입이나 삭제의 경우 유사도 계산에 gap penalty가 적용된다.  $k$ 개의 연속된 삽입(혹은 삭제)에 대해 affine gap penalty  $g_k$ 는 다음과 같이 정의된다.

$$g_k = \gamma + k\mu$$

이때,  $\gamma$ 와  $\mu$ 는 0 이상인 상수로,  $\gamma$ 를 gap 초기화 penalty,  $\mu$ 를 gap 확장 penalty라고 한다.

### 2.3 점수 행렬(Scoring matrix)

DNA 서열은 A, C, G, T의 네 가지 문자로 구성되지만, 확정되지 않은 염기를 표현하기 위한 다른 문자들도 존재한다[10]. 그 중 N과 X가 DNA 시퀀싱 프로그램에서 사용된다[2]. N은 'any' 혹은 'unspecified'를 의미하고 실험적으로 어떤 염기인지 확인할 수 없을 때 사용되며, X는 'unknown'을 의미하고 vector screening 또는 repeat masking된 위치에 사용된다.

그림 1은 일반적으로 사용되는 DNA 서열에 대한 유사도 점수('점수 행렬'로도 불린다.)의 한 예이다. A, C, G, T의 경우에는 일치인 경우에는 1을, 불일치인 경우에는 -2를 사용하지만, N이나 X인 경우에는 일치, 불일치의 의미가 없이 한 문자라도 N이면 항상 0을, 한 문자가 X이고 다른 문자가 N이 아니라면 항상 -3을 사용하고 있다.

이에 우리는 앞에서 정의한 유사도 점수  $s(a_i, b_j)$ 를 다음과 같이 확장할 수 있다.

$$s(a_i, b_j) = \begin{cases} 1 & a_i = b_j \neq X, N \text{인 경우} \\ -\delta & a_i \neq b_j \text{이며 } a_i, b_j \neq X, N \text{인 경우} \\ \tau & a_i \text{나 } b_j \text{가 } X \text{이고 } a_i, b_j \neq N \text{인 경우} \\ \sigma & a_i \text{나 } b_j \text{가 } N \text{인 경우} \end{cases}$$

단,  $\tau$ 와  $\sigma$ 는 임의의 상수이다. 앞의 예에서는  $\delta = 2$ ,  $\tau = -3$ ,  $\sigma = 0$ 인 경우가 된다. 그림 2는  $H$  table에서 각각의 유사도 점수가 사용되는 영역을 나타낸 그림이다.

그림 2에서 나눠진 각각의 직사각형을 블록이라고 부른다. 즉,  $A[i_1..i_2]$ 가 X만 있는 부분이거나 N만 있는 부분이거나 혹은 X와 N이 없는 부분이고,  $B[j_1..j_2]$ 가 X만 있는 부분이거나 N만 있는 부분이거나 혹은 X와 N이 없는 부분일 때, 부분행렬  $H_{i_1..i_2, j_1..j_2}$ 가 하나의 블록이 된다.

		B				
		NN ... N		XX ... X		
A	1/- $\delta$	$\sigma$	1/- $\delta$	$\tau$	1/ $-\delta$	
	$\sigma$	$\sigma$	$\sigma$	$\sigma$	$\sigma$	
N	1/- $\delta$	$\sigma$	1/- $\delta$	$\tau$	1/ $-\delta$	
	$\tau$	$\sigma$	$\tau$	$\tau$	$\tau$	
X	1/- $\delta$	$\sigma$	1/- $\delta$	$\tau$	1/ $-\delta$	
	$\tau$	$\sigma$	$\tau$	$\tau$	$\tau$	

그림 2 N과 X를 갖는 두 서열에 대한  $H$  table에서 각각의 유사도 점수가 사용되는 영역

본 논문에서 다룬 문제는 다음과 같다.

문제 1. A, C, G, T 및 N과 X로 구성된 두 개의 DNA 서열  $A, B$ 가 주어졌을 때, affine gap penalty metric에 대한  $SL(A, B)$ 을 구하라.

### 3. 알고리즘

$|A| = n, |B| = m$ 인 두 서열  $A, B$ 가 주어질 때,  $SL(A, B)$ 을 구하기 위해  $H$  table을 계산하는데, 이때  $H$  table을 다음과 같이 다섯 가지 경우의 블록으로 나누어 계산한다.

경우 1:  $a_i$ 와  $b_j$ 가 X도 N도 아닌 경우. 블록을 모두 계산.

경우 2:  $a_i$ 와  $b_j$  중 하나는 X이고 다른 하나는 N이 아닌 경우. 블록의 가장 아래 행과 가장 오른쪽 열만 계산.

경우 3:  $a_i$ 만 N인 경우. 블록의 가장 아래 행만 계산.

경우 4:  $b_j$ 만 N인 경우. 블록의 가장 오른쪽 열만 계산.

경우 5:  $a_i$ 와  $b_j$ 가 모두 N인 경우. 블록의 왼쪽에 인접한 열과 위쪽에 인접한 행 및 해당 블록의 가장 오른쪽 아래 모퉁이 하나만 계산.

그림 3은 다섯 가지 경우로 나뉜  $H$  table의 한 예를 보여준다. 경우 1은 유사도 점수로  $1/-\delta$ 가 사용되는 영역으로 SWG 알고리즘[7,8]으로 계산할 수 있다. 경우 2는  $\tau$ 가 사용되는 영역으로 3.1절에서 설명한다. 경우 3, 4, 5는  $\sigma$ 가 사용되는 영역으로 Kim-Park 알고리즘[9]으로 계산할 수 있다.

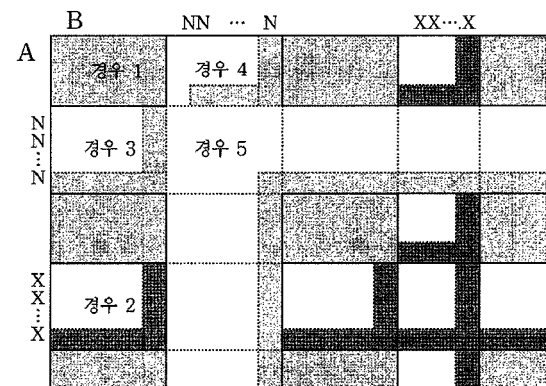


그림 3 다섯 가지 경우의 블록으로 표현된  $H$  table.  $SL(A, B)$ 을 구하려면 색칠된 부분만 계산하면 됨. 경우 2가 X와 관련된 블록들임

#### 3.1 경우 2

경우 2는  $a_i$ 와  $b_j$  중 하나는 X이고 다른 하나는 N이 아닌 경우로, 해당 블록의 가장 아래 행과 가장 오른쪽

열만 계산하면 된다. 즉,  $H_{i-p+1..i,j-q+1..j}$ 가 경우 2인 블록일 때,  $C_{i-k,j-q}$ ,  $R_{i-k,j-q}$ ,  $H_{i-k,j-q}$  ( $0 \leq k \leq p$ )와  $C_{i-p,j-l}$ ,  $R_{i-p,j-l}$ ,  $H_{i-p,j-l}$  ( $0 \leq l \leq q$ )을 이용하여  $C_{i,j-l}$ ,  $R_{i,j-l}$ ,  $H_{i,j-l}$  ( $0 \leq l < q$ )과  $C_{i-k,j}$ ,  $R_{i-k,j}$ ,  $H_{i-k,j}$  ( $0 \leq k < p$ )를 계산한다.

이 방식은 run-length encoded 문자열의 유사도 계산 방식[11]을 원용한 것으로, 이렇게 하나의 행과 하나의 열만 계산해도 되는 이유는 해당 블록의 가장 아래 행이 계산되면 그 아래의 블록의 계산에 필요한 입력을 줄 수 있고, 해당 블록의 가장 오른쪽 열이 계산되면 그 오른쪽의 블록의 계산에 필요한 입력을 줄 수 있기 때문이다.

지금부터 경우 2인 블록에서 가장 아래 행을 계산할 수 있는 점화식을 제시한다. 참고로, 이 점화식의 행과 열을 대칭적으로 변환하면 가장 오른쪽 행을 계산할 수 있는 점화식을 바로 얻을 수 있다.

### 3.1.1 $C_{i,j-l}$ 계산

$C_{i,j-l}$  ( $0 \leq l < q$ )을 계산하기 위해서는 기본적으로  $R_{i-k,j-q}$ ,  $H_{i-k,j-q}$  ( $1 \leq k < p$ )와  $C_{i-p,j-s}$ ,  $H_{i-p,j-s}$  ( $l \leq s \leq q$ )가 필요하다. 이들로부터  $C_{i,j-l}$ 을 계산하기 위해서는 다양한 경로를 고려해야 하는데, 다음 보조정리들을 통하여 그 중 꼭 필요한 경로만을 찾도록 한다. 이러한 경로를 필수경로라 부른다[11].

먼저  $C_{i-p,j-s}$  와  $H_{i-p,j-s}$  ( $l \leq s \leq q$ )를 살펴본다. 보조정리 1과 2는 [9]에 증명되어 있다.

**보조정리 1.** [9]  $H_{i-p,j-u}$  ( $l \leq u \leq q$ )로부터의 경로로 계산되는  $C_{i,j-l}$ 보다  $H_{i-p,j-s}$  ( $l \leq s \leq \min\{l+p-1, q\}$ )로부터의 경로로 계산되는  $C_{i,j-l}$ 이 더 크거나 같은  $H_{i-p,j-s}$ 가 적어도 하나 존재한다(그림 4(a) 참고).

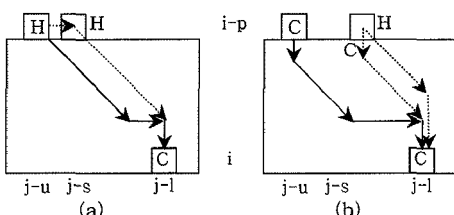


그림 4 (a) 보조정리 1 (b) 보조정리 2

**보조정리 2.** [9]  $C_{i-p,j-u}$  ( $l < u < q$ )로부터의 경로로 계산되는  $C_{i,j-l}$ 보다  $H_{i-p,j-s}$  ( $l \leq s \leq \min\{l+p-2, q\}$ )로부터의 경로로 계산되는  $C_{i,j-l}$ 이 더 크거나 같은  $H_{i-p,j-s}$ 가 적어도 하나 존재한다(그림 4(b) 참고).

보조정리 1과 2에서 찾은 필수경로는  $\max_{l \leq s \leq \min\{l+p-1, q\}} \{H_{i-p,j-s} + (s-l)\tau - g_{p-(s-l)}\}$  이다.

고 다루지 않은 필수경로는  $C_{i-p,j-l} - p\mu$ 이다.

다음은  $R_{i-k,j-q}$  와  $H_{i-k,j-q}$  ( $1 \leq k < p$ )를 살펴본다.

**보조정리 3.** 만약  $\tau > -2\mu$ 라면,  $R_{i-u,j-q}$  ( $q-l < u < p$ )로부터의 경로로 계산되는  $C_{i,j-l}$ 보다  $H_{i-u,j-q}$ 로부터의 경로로 계산되는  $C_{i,j-q+l}$ 이 더 크다(그림 5 참고).

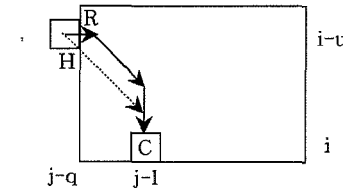


그림 5 보조정리 3

**증명.**  $\tau > -2\mu$  일 때  $R_{i-u,j-q}$  ( $q-l < u < p$ )로부터  $C_{i,j-l}$  까지 최대값을 주는 경로는  $R_{i-u,j-q} - \mu + (q-l-1)\tau - g_{u-q+l+1}$  이다. 그런데,  $H$  table의 정의에 의해  $R_{i-u,j-q} \leq H_{i-u,j-q}$  이다. 그리고  $-2\mu < \tau$  이므로,  $R_{i-u,j-q} - \mu + (q-l-1)\tau - g_{u-q+l+1} \leq H_{i-u,j-q} - \mu + (q-l-1)\tau - g_{u-q+l+1} < H_{i-u,j-q} + (q-l)\tau - g_{u-q+l}$

이 된다. 즉,  $H_{i-u,j-q}$ 로부터의 경로로 계산되는  $C_{i,j-q+l}$  이 더 크다. □

$\tau > -2\mu$ 인 경우에 보조정리 3에서 다루지 않은 필수경로는  $\max_{1 < s \leq \min\{q-l, p-1\}} \{R_{i-s,j-q} - (q-l-s+1)\mu + (s-1)\tau - g_1\}$  이고, 만약  $\tau \leq -2\mu$ 라면 필수경로는  $\max_{1 \leq s < p} \{R_{i-s,j-q} - g_s\} - (q-l)\mu$  이다.  $H_{i-k,j-q}$  ( $1 \leq k < p$ )는 모두 필수경로에 관여한다. 이상으로부터 도출한  $C_{i,j-l}$ 을 위한 점화식은 다음과 같다(그림 6 참고).

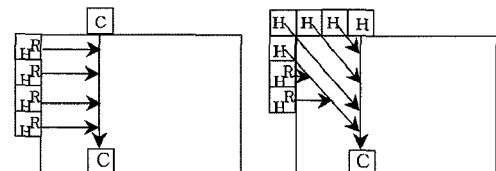


그림 6  $C_{i,j-l}$  계산을 위한 필수경로들

$$C_{i,j-l} = \begin{cases} C_{i-p,j-l} - p\mu \\ \max_{l \leq s \leq \min\{l+p-1, q\}} \{H_{i-p,j-s} + (s-l)\tau - g_{p-(s-l)}\} \\ \max_{1 \leq s < p} \{R_{i-s,j-q} - g_s\} - (q-l)\mu \\ \max_{1 < s \leq p} \{H_{i-s,j-q} - g_s\} - g_{q-l} \\ \max_{1 < s \leq \min\{q-l, p-1\}} \{R_{i-s,j-q} - (q-l-s+1)\mu + (s-1)\tau - g_1\} \\ \max_{q-l < s \leq p-1} \{H_{i-s,j-q} - g_{s-q+l}\} + (q-l)\tau \end{cases}$$

$C_{i,j-l}$  하나의 값을 계산하기 위해서는  $O(p)$ 의 시간이 필요하지만,  $0 \leq l < q$ 인  $l$  전체에 대해서는  $O(p+q)$  시간이면 충분하다. 즉, 처음  $C_{i,j-q+1}$ 을 계산하는 데에는  $O(p)$  시간이 걸리지만, 이후  $l$ 을  $q-2$ 부터 0까지 변화시키며  $C_{i,j-l}$ 을 계산할 때 하나의  $C_{i,j-l}$ 은  $O(1)$  시간에 계산이 가능하다. 이는 인접한 두 값  $C_{i,j-l-1}$ 과  $C_{i,j-l}$ 의 계산식이 유사하다는 점과 자료구조 MQQUEUE에 바탕을 둔다[9,11].

### 3.1.2 $R_{i,j-l}$ 계산[11]

$R_{i,j-l}$  ( $0 \leq l < q$ )을 계산하기 위해서는  $R_{i,j-l-1}$ 과  $H_{i,j-l-1}$ 이 필요하다. 그런데,  $R_{i,j-q}$ 와  $H_{i,j-q}$ 를 입력으로 알고 있고 블록의 가장 아래 행을 계산할 때 원쪽에서 오른쪽으로 계산한다면,  $R_{i,j-l}$ 을 계산하는 시점에  $R_{i,j-l-1}$ 과  $H_{i,j-l-1}$ 을 모두 알고 있으므로 상수시간에 계산이 가능하다.

### 3.1.3 $H_{i,j-l}$ 계산

$H_{i,j-l}$  ( $0 \leq l < q$ )을 계산하기 위해서는  $C_{i,j-l}$ ,  $R_{i,j-l}$  그리고  $H_{i-1,j-l-1}$ 이 필요하다.  $C_{i,j-l}$ 과  $R_{i,j-l}$ 은 앞에서 구했으므로, 다음 보조정리를 통하여  $H_{i-1,j-l-1}$ 을 거쳐서  $\tau$ 로  $H_{i,j-l}$ 에 도달하는 필수경로들을 찾도록 한다.

먼저  $H_{i-k,j-q}$  ( $1 \leq k < p$ )와  $H_{i-p,j-s}$  ( $l < s \leq q$ )를 살펴본다. 보조정리 4와 5는 [11]에 증명되어 있다.

**보조정리 4.** [11]  $H_{i-u,j-q}$  ( $l \leq u < p$ )로부터  $H_{i-1,j-l-1}$ 을 거쳐서 마지막이  $\tau$ 인 경로로 계산되는  $H_{i,j-l}$ 보다  $R_{i,j-l}$ 이나  $H_{i-q+l,j-q} + (q-l)\tau$ (단,  $p > q-l$ 인 경우)로 계산되는  $H_{i,j-l}$ 이 더 크거나 같다.

**보조정리 5.** [11]  $H_{i-p,j-u}$  ( $l \leq u \leq q$ )로부터  $H_{i-1,j-l-1}$ 을 거쳐서 마지막이  $\tau$ 인 경로로 계산되는  $H_{i,j-l}$ 보다  $C_{i,j-l}$ 이나  $H_{i-p,j-l-p} + p\tau$ (단,  $p \leq q-l$ 인 경우)로 계산되는  $H_{i,j-l}$ 이 더 크거나 같다.

보조정리 4와 5로 찾은 필수경로는  $H_{i-q+l,j-q} + (q-l)\tau$ (단,  $p > q-l$ 인 경우) 혹은  $H_{i-p,j-l-p} + p\tau$ (단,  $p \leq q-l$ 인 경우)이다.

다음은  $R_{i-k,j-q}$  ( $1 \leq k < p$ )와  $C_{i-p,j-s}$  ( $l < s < q$ )를 살펴본다. 보조정리 6은 [9]에 증명되어 있고, 보조정리 7은 보조정리 6과 대칭적인 관계이므로 증명은 생략한다.

**보조정리 6.** [9]  $C_{i-p,j-u}$  ( $l < u < q$ )로부터의 경로로 계산되는  $H_{i-1,j-l-1}$ 보다  $C_{i-p,j-s}$  ( $l < s < \min\{l+p, q\}$ )로부터의 경로로 계산되는  $H_{i-1,j-l-1}$ 이 더 크거나 같은  $C_{i-p,j-s}$ 가 적어도 하나 존재한다.

**보조정리 7.**  $R_{i-u,j-q}$  ( $1 \leq u < p$ )로부터의 경로로 계

산되는  $H_{i-1,j-l-1}$ 보다  $R_{i-s,j-q}$  ( $1 \leq s < \min\{q-l, p\}$ )로부터의 경로로 계산되는  $H_{i-1,j-l-1}$ 이 더 크거나 같은  $R_{i-s,j-q}$ 가 적어도 하나 존재한다.

보조정리 6과 7로 찾은 필수경로는  $\max_{l < s < \min\{l+p, q\}} \{C_{i-p,j-s} - (p-s+l)\mu + (s-l)\tau\}$ 와  $\max_{1 \leq s < \min\{q-l, p\}} \{R_{i-s,j-q} - (q-l-s)\mu + s\tau\}$ 이다. 이 상으로부터 도출한  $H_{i,j-l}$ 을 위한 점화식은 다음과 같다 (그림 7 참고).

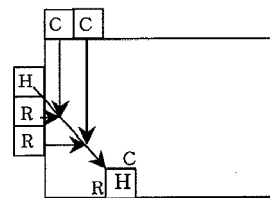


그림 7  $H_{i,j-l}$  계산을 위한 필수경로들

$$H_{i,j-l} = \begin{cases} C_{i,j-l} \\ R_{i,j-l} \\ \max(H_{i-s,j-l-s} + s\tau) \quad (\text{단, } s = \min\{p, q-l\}) \\ \max_{l < s < \min\{l+p, q\}} \{C_{i-p,j-s} - (p-s+l)\mu + (s-l)\tau\} \\ \max_{1 \leq s < \min\{q-l, p\}} \{R_{i-s,j-q} - (q-l-s)\mu + s\tau\} \end{cases}$$

$H_{i,j-l}$  하나의 값을 계산하기 위해서는  $O(p)$ 의 시간이 필요하지만,  $0 \leq l < q$ 인  $l$  전체에 대해서는  $C_{i,j-l}$ 의 계산과 마찬가지로  $O(p+q)$ 의 시간에 수행된다.

## 4. 시간 복잡도

이번 장에서는 본 논문에서 제시하는 알고리즘의 시간 복잡도를 알아본다.  $|A|=n$ ,  $|B|=m$ 인 두 서열  $A$ ,  $B$ 가 주어질 때,  $T$ 와  $S$ 는 서열  $A$ 와  $B$ 에 있는 X와 N의 전체 개수를 나타내고,  $v$ 와  $w$ 는 서열  $A$ 와  $B$ 에 있는 연속된 X와 연속된 N의 영역의 개수의 합을 나타낸다. 또한, N 영역의 좌우에는 최대 2개의 N이 아닌 영역이 올 수 있고 X 영역의 좌우에는 최대 2개의 X가 아닌 영역이 올 수 있으므로, 서열  $A$ 와  $B$ 는 최대  $3v$ 개와  $3w$ 개의 영역을 가진다.

먼저 크기가  $p \times q$ 인 한 블록을 계산하는데 필요한 시간을 경우별로 살펴보면 다음과 같다. 경우 1은 크기가  $p \times q$ 인 블록에 대해  $O(pq)$ 의 시간이 걸리고[8], 경우 2는  $O(p+q)$ 의 시간이 걸린다. 경우 3은  $O(q)$ , 경우 4는  $O(p)$ , 마지막으로 경우 5는  $O(\min\{p, q\})$ 의 시간이 걸린다[9]. 그런데, 계산의 편의를 위해 경우 2부터 5까지 모두  $O(p+q)$ 로 간주하겠다.

전체에 대한 시간 복잡도는 다음과 같다. 경우 1인 블

록을 모두 모으면 크기가  $(n-T)(m-S)$ 가 되고 따라서  $O((n-T)(m-S))$ 의 시간이 필요하다. 경우 2부터 5까지를 살펴보면,  $A$ 에는 길이의 합이  $T$ 인  $v$ 개의  $X$  혹은  $N$  영역이 있고  $B$ 에는 길이의 합이  $m$ 인 최대  $3w$  개의 영역이 있으므로, 이들이 만드는 블록들의 행의 합은  $vm$ 이며 열의 합은  $3wT$ 이다. 반대로,  $B$ 에는 길이의 합이  $S$ 인  $w$ 개의  $X$  혹은  $N$  영역이 있고  $A$ 에는 길이의 합이  $n$ 인 최대  $3v$ 개의 영역이 있으므로, 이들이 만드는 블록들의 행의 합은 최대  $3vS$ 이며 열의 합은 최대  $wn$ 이다. 이때,  $A$ 와  $B$  모두  $X$  혹은  $N$ 인 영역이 중복되어 계산되었고 이들이 만드는 블록들의 크기는 행의 합이  $vS$ , 열의 합이  $wT$ 이다. 따라서 전체 행의 크기는 최대  $vm+3vS-vS=vm+2vS \leq 3vm$ 이 되고 열의 크기는 같은 식으로 최대  $3wn$ 이 되어, 경우 2, 3, 4, 5에 대한 전체 시간 복잡도는  $O(vm+wn)$ 이 된다. 결국 전체 알고리즘의 시간 복잡도는  $O((n-T)(m-S)+vm+wn)$ 이 된다.

**정리 1.**  $N$ 과  $X$ 를 포함하는 두 DNA 서열의 affine gap penalty metric에 대한 최적의 지역정렬은  $O((n-T)(m-S)+vm+wn)$ 의 시간에 구해진다.

## 5. 결 론

본 논문에서는 A, C, G, T 이외에 N과 X를 모두 갖는 DNA 서열의 affine gap penalty metric에 대한 최적의 지역정렬을 찾는 효율적인 알고리즘을 제시하였다. 이는 X가 포함된 영역을 효율적으로 처리할 수 있는 알고리즘을 N만 처리하는 Kim-Park 알고리즘에 적용하여 N과 X를 모두 처리할 수 있도록 한 것이다.

또한, X가 포함된 영역을 다루는 알고리즘은 새로운 문자가 추가되어 새로운 유사도 점수가 생기더라도 그에 해당하는 블록에 바로 적용이 가능하다. 왜냐하면 X의 유사도 점수  $r$ 를 일치 및 불일치의 유사도 점수와는 무관하게 일반적인 경우로 두고 알고리즘을 만들었기 때문이다.

## 참 고 문 헌

- [1] D. Gusfield, *Algorithms on Strings, Trees, and Sequences*, Cambridge University Press, New York, 1997.
- [2] P. Green, PHRAP, <http://www.phrap.org>.
- [3] E.W. Myers, G.G. Sutton, A.L. Delcher, I.M. Dew, D.P. Fasulo, et al., A Whole-Genome Assembly of *Drosophila*, *Science*, 287, pp.2196-2204, 2000.
- [4] A. Batzoglou, D.B. Jaffe, K. Stanley, J. Butler, et al., ARACHNE: A Whole-Genome Shotgun Assembler, *Genome Research*, 12, pp.177-189, 2002.
- [5] J. Wang, G.K. Wong, P. Ni, et al., RePS: A

Sequence Assembler that Masks Exact Repeats Identified from the Shotgun Data, *Genome Research*, 12, pp.824-831, 2002.

- [6] J.W. Kim, K. Roh, K. Park, H. Park, J. Seo, MLP: Mate-Based Sequence Layout with PHRAP, *Bioinformatics and Biosystems*, 1(1), pp.61-66, 2006.
- [7] T.F. Smith, M.S. Waterman, Identification of Common Molecular Subsequences, *Journal of Molecular Biology*, 147, pp.195-197, 1981.
- [8] O. Gotoh, An Improved Algorithm for Matching Biological Sequences, *Journal of Molecular Biology*, 162, pp.705-708, 1982.
- [9] J.W. Kim, K. Park, An Efficient Alignment Algorithm for Masked Sequences, *Theoretical Computer Science*, 370, pp.19-33, 2007.
- [10] NC-UIB, Nomenclature for Incompletely Specified Bases in Nucleic Acid Sequences. Recommendations 1984, *The European Journal of Biochemistry*, 150, pp.1-5, 1985.
- [11] J.W. Kim, A. Amir, G.M. Landau, K. Park, Computing Similarity of Run-Length Encoded Strings with Affine Gap Penalty, *Theoretical Computer Science*, 395, pp.268-282, 2008.



김 진 융

1998년 서울대학교 수학과 학사. 2000년 서울대학교 컴퓨터공학과 석사. 2006년 서울대학교 전기·컴퓨터공학부 박사. 2006년~2009년 (주)에이치엠 연구소 책임연구원. 2009년~현재 인하대학교 컴퓨터정보공학부 연구교수. 관심분야는 컴퓨터이론, 알고리즘, 웹검색, 생물정보학, 암호학